

Mg-Sn-Y 三元系富 Mg 角 500 等温截面的测定

赵宏达, 任玉平, 裴文利, 郭运, 陈冬, 秦高梧

(东北大学 材料各向异性与织构教育部重点实验室, 沈阳 110004)

摘要:采用合金法, 利用 XRD、SEM-EDS 测定一系列 Mg-Sn-Y 三元合金在 500 下富 Mg 角处相平衡关系及各相平衡成分, 建立 Mg-Sn-Y 三元系在 500 下富 Mg 角处的等温截面相图。结果表明:Mg-Sn-Y 三元系富 Mg 角处存在 Mg_2Sn 、 $MgSnY$ 、 Sn_3Y_5 和 $Mg_{24+x}Y_5$ 4 种化合物与 α -Mg 固溶体平衡, 从而构建 3 个三相区和 4 个两相区; Sn 在 α -Mg 基体中的固溶度为 2.5%~3.9%(摩尔分数), Y 在 α -Mg 基体中的固溶度为 1.1%, 但二者不能同时固溶到 α -Mg 基体中, 同时 Sn_3Y_5 相中大约可以固溶 3.6%~4.1% 的金属 Mg; 由于 $MgSnY$ 和 Sn_3Y_5 等一些高熔点化合物在高温下能够稳定存在, 使得 Mg-Sn-Y 体系有可能成为一种潜在的新型耐热镁合金。

关键词:Mg-Sn-Y 三元系; 相平衡; 等温截面; 固溶度

中图分类号: TG 113.14

文献标识码: A

Determination of isothermal section of Mg-riched corner in Mg-Sn-Y ternary system at 500

ZHAO Hong-da, REN Yu-ping, PEI Wen-li, GUO Yun, CHEN Dong, QIN Gao-wu

(Key Laboratory for Anisotropy and Texture of Materials, Ministry of Education,
Northeastern University, Shenyang 110004, China)

Abstract: By equilibrated alloy method the phase equilibria relation and phase equilibria composition of the Mg-riched corner in the Mg-Sn-Y ternary system at 500 were determined by XRD and SEM-EDS, thus the isothermal section of this ternary system was constructed. The results show that four intermetallic compounds exist in equilibrium with the α -Mg solid solution, i.e. Mg_2Sn , $MgSnY$, Sn_3Y_5 and $Mg_{24+x}Y_5$. Therefore, three three-phase regions and four two-phase regions are constructed. The solubility of Sn and Y in the α -Mg solid solution are 2.5%~3.9% and 1.1% (mole fraction), respectively, but they can not be simultaneously soluted in α -Mg solid solution. In addition, about 3.6%~4.1% Mg is detected in the Sn_3Y_5 phase. Due to high thermal stability of the compounds such as $MgSnY$ and Sn_3Y_5 , it is thus expected that the Mg-Sn-Y-based alloy could be a promising creep resistant alloy by appropriate alloy design and processing.

Key words: Mg-Sn-Y ternary system; phase equilibrium; isothermal section; solubility

作为广泛应用的 AZ 和 AM 系镁合金, 由于其高温强度和抗蠕变性能较差, 成为限制其应用于汽车发动机等耐高温零部件的瓶颈^[1~4]。目前 Mg-Sn 基做为新型的抗蠕变耐热镁合金而受到广泛关注^[5~8]。LIU 等^[5]对 Mg-Sn 二元合金耐热性能的研究结果表明, 由于存在高熔点热稳定相 Mg_2Sn (熔点 770.5), 在 150 时

Mg -7% Sn 合金具有与 AE42 合金相当的抗蠕变能力^[5]。在 Mg -5% Sn 合金的基础上添加 2% Di 后, 由于在合金中形成具有更高热稳定性的 Sn-Di 二元金属间化合物, 使得该合金的抗蠕变性能优于 AE42 合金的^[9~10]。 Mg -Sn-Zn-Y 四元合金的研究结果表明, 合金中存在 $MgSnY$ 、 Mg_2Sn 和 $MgZn$ 等金属间化合物, 使得其综合

基金项目: 国家“十一五”重点科技资助项目(2006BAE04B09-7); 国家自然科学基金重点资助项目(50731002); 辽宁省教育厅重点实验室资助项目(2008S089)

收稿日期: 2009-03-31; 修订日期: 2009-05-26

通信作者: 秦高梧, 教授, 博士; Tel: 024-83683772; E-mail: qingw@smm.neu.edu.cn

性能得到显著改善^[11]。LIM等^[12-13]研究表明：在Mg-MM(misch-metal)合金中加入适量的Sn，形成Mg₃RE₁Sn₁粒子，取代原二元合金中的Mg₁₂MM相，提高了该合金的延展性。这意味着添加少量的稀土(RE)元素能够大幅度地提高Mg-Sn基镁合金的综合力学性能。然而，作为合金化改性的基础，有关Mg-Sn-RE系相图的研究鲜有报道，从而限制了新型耐热镁合金的研制。由于Y是镁合金中重要的常用添加RE类元素，因此本研究采用合金法对Mg-Sn-Y三元系富Mg角500等温截面进行研究，为优化Mg-Sn-Y基新型镁合金的设计提供基础。

1 实验

本实验制备合金的原料采用纯Mg99.99%，纯Sn99.99%以及Mg-50%Y中间合金。实验所设计的合金成分如表1所列。采用石墨坩埚，在有高纯氩气保护气氛的中频感应炉中熔制。然后在(500±2)下平衡处理120 h后水淬。所有试样经过机械研磨，抛光后不经过化学侵蚀，采用HITACHI S3400N型扫描电镜进行组织以及能谱成分分析。平衡处理后合金的相结构在PANALYTICAL B.V PW3040/60 X射线衍射仪上进行，采用Cu靶，加速电压40 kV，电流40 mA，扫描速度4°/min。

表1 实验设计合金的名义成分

Table 1 Nominal compositions of designed Mg-Sn-Y alloys (mole fraction, %)

Alloy	x(Mg)/%	x(Sn)/%	x(Y)/%
Mg ₈₀ Sn ₁₅ Y ₅	80	15	5
Mg ₆₀ Sn ₂₅ Y ₁₅	60	25	15
Mg ₇₀ Sn ₂₀ Y ₁₀	70	20	10
Mg ₈₅ Sn ₅ Y ₁₀	85	5	10
Mg ₈₀ Sn ₅ Y ₁₅	80	5	15

2 结果与讨论

图1所示为Mg₈₀Sn₁₅Y₅、Mg₆₀Sn₂₅Y₁₅和Mg₇₀Sn₂₀Y₁₀合金在500平衡处理后的显微组织，都是由暗、亮和灰3个相组成。能谱成分分析结果如表2所列，结合3个合金在500平衡处理后的XRD分析结果(见图2)，确定暗相是α-Mg固溶体，亮相为Mg₂Sn，灰色相中Mg、Sn、Y3种元素的摩尔比接近

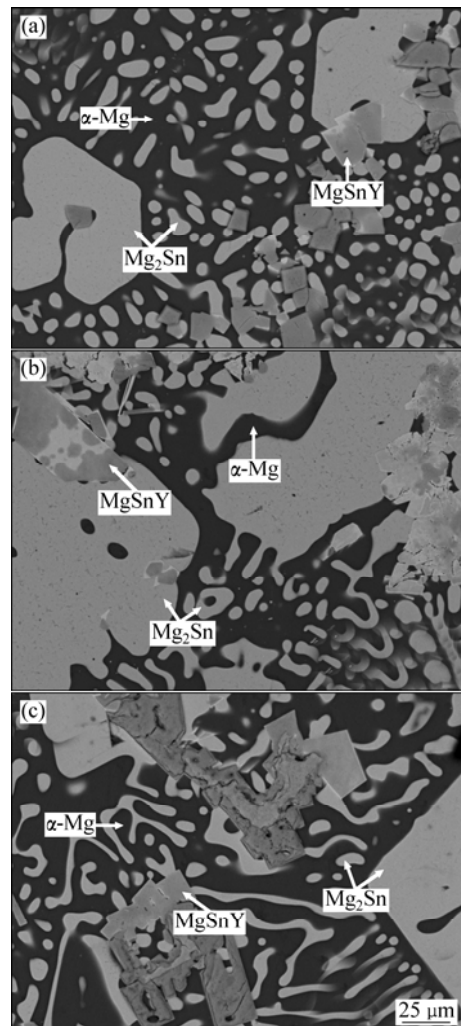


图1 在500平衡处理120 h后Mg₈₀Sn₁₅Y₅合金(a)、

Mg₆₀Sn₂₅Y₁₅合金(b)和Mg₇₀Sn₂₀Y₁₀合金(c)的微观组织

Fig.1 Microstructures of different alloys after heat-treatment at 500 for 120 h: (a) Mg₈₀Sn₁₅Y₅; (b) Mg₆₀Sn₂₅Y₁₅; (c) Mg₇₀Sn₂₀Y₁₀

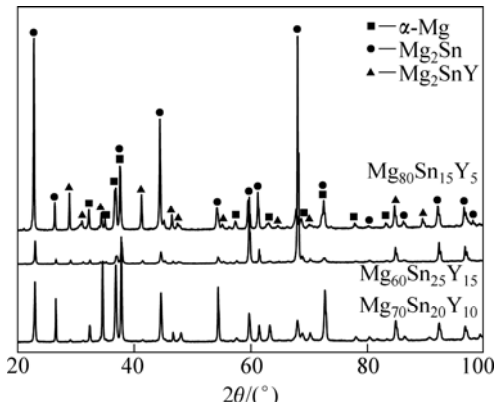


图2 在500平衡处理120 h后Mg₈₀Sn₁₅Y₅、Mg₆₀Sn₂₅Y₁₅和Mg₇₀Sn₂₀Y₁₀合金的XRD谱

Fig.2 XRD patterns of Mg₈₀Sn₁₅Y₅、Mg₆₀Sn₂₅Y₁₅ and Mg₇₀Sn₂₀Y₁₀ alloy after heat-treatment at 500 for 120 h

1:1:1, 根据 GRONY^[11] 和 RASHKOVA 等^[14] 的研究结果, 确定该相为 MgSnY 相。因此, Mg-Sn-Y 三元系在 500 富 Mg 角处存在 α -Mg、 Mg_2Sn 和 MgSnY 三相平衡区。该温度下的三相平衡成分如表 2 所列。

表 2 Mg-Sn-Y 三元系在 500 下平衡相的组成以及各相成分

Table 2 Equilibrium phase constituents and compositions in Mg-Sn-Y ternary system at 500

Alloy	Equilibrium phase constituent	Equilibrium phase composition/%		
		$x(Mg)$	$x(Sn)$	$x(Y)$
$Mg_{80}Sn_{15}Y_5$	α -Mg	97.4	2.6	0
	Mg_2Sn	66.0	34.0	0
	MgSnY	31.6	32.8	35.6
$Mg_{60}Sn_{25}Y_{15}$	α -Mg	97.4	2.6	0
	Mg_2Sn	65.6	34.4	0
	MgSnY	32.6	33.4	34.0
$Mg_{70}Sn_{20}Y_{10}$	α -Mg	97.5	2.5	0
	Mg_2Sn	65.7	34.3	0
	MgSnY	32.7	31.5	35.8
$Mg_{85}Sn_5Y_{10}$	A -Mg	98.9	0	1.1
	Sn_3Y_5	3.6	35.1	61.3
$Mg_{80}Sn_5Y_{15}$	α -Mg	96.1	0	3.9
	Sn_3Y_5	4.1	34.9	61.0
	$Mg_{24+x}Y$	85.6	0	14.4

图 3 所示为在 500 平衡处理 120 h 后 $Mg_{85}Sn_5Y_{10}$ 合金的显微组织。由图 3 可知, 该组织由暗和亮两相组成, 结合 XRD 分析(见图 4)结果及其 EDS 分析结果(见表 2), 确定暗相是 α -Mg 固溶体, 亮

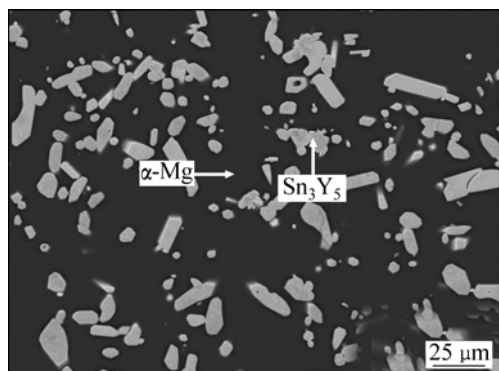


图 3 在 500 平衡处理 120 h 后 $Mg_{85}Sn_5Y_{10}$ 合金的 SEM 像

Fig.3 SEM image of $Mg_{85}Sn_5Y_{10}$ alloy after heat-treatment at 500 for 120 h

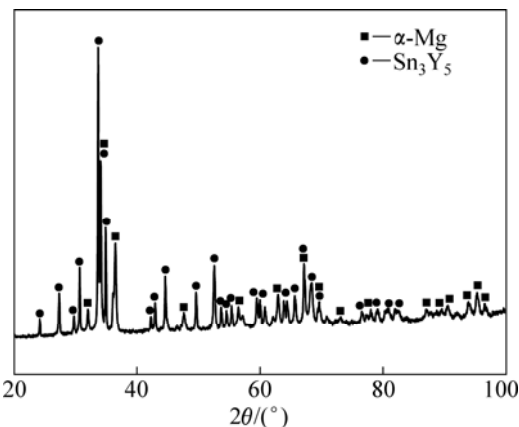


图 4 在 500 平衡处理 120 h 后 $Mg_{85}Sn_5Y_{10}$ 合金的 XRD 谱

Fig.4 XRD pattern of $Mg_{85}Sn_5Y_{10}$ alloy after heat-treatment at 500 for 120 h

相是 Sn_3Y_5 。因此, Mg-Sn-Y 三元系在 500 富 Mg 角处存在 α -Mg/ Sn_3Y_5 二相平衡区。同时测得 Mg 在 Sn_3Y_5 中的固溶度。

图 5 所示为在 500 平衡处理 120 h 后 $Mg_{80}Sn_5Y_{15}$ 合金的显微组织。由图 5 可以看出, 该组织由暗、亮和灰三相组成。结合 XRD 分析(见图 6)以及 EDS 分析结果(见表 2)可以确定暗相是 α -Mg 固溶体, 亮相是 Sn_3Y_5 , 灰相是 $Mg_{24+x}Y_5$ 。所以, Mg-Sn-Y 三元系在 500 富 Mg 角处存在 α -Mg、 Mg_2Sn 和 MgSnY 三相平衡区。在 500 时 $Mg_{80}Sn_5Y_{15}$ 合金中 Y 在 α -Mg 中的固溶度为 3.9%(摩尔分数), 该值大于 Mg-Y 二元系在 500 时 Y 在 Mg 中的最大固溶度(2.9%), 而 Mg 在 Sn_3Y_5 相中的固溶度(4.1%)大于上述提到的 $Mg_{85}Sn_5Y_{10}$ 合金中 α -Mg/ Sn_3Y_5 两相平衡时的

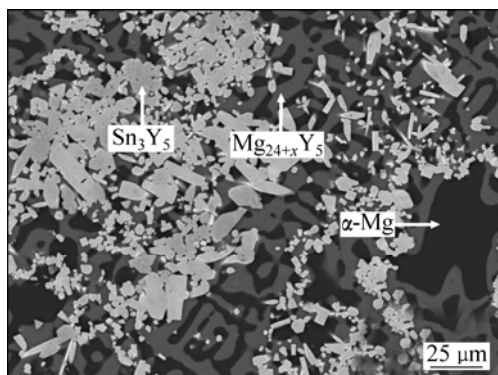


图 5 在 500 平衡处理 120 h 后 $Mg_{80}Sn_5Y_{15}$ 合金的 SEM 像

Fig.5 SEM image of $Mg_{80}Sn_5Y_{15}$ alloy after heat-treatment at 500 for 120 h

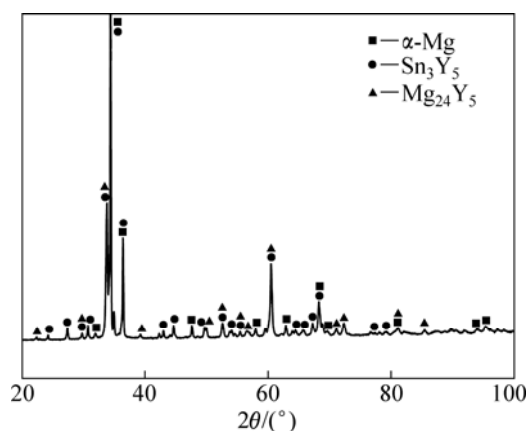


图 6 在 500 °C 处理 120 h 后 Mg₈₀Sn₅Y₁₅ 合金平衡组织的 XRD 谱

Fig.6 XRD patterns of Mg₈₀Sn₅Y₁₅ alloy after heat-treatment at 500 °C for 120 h

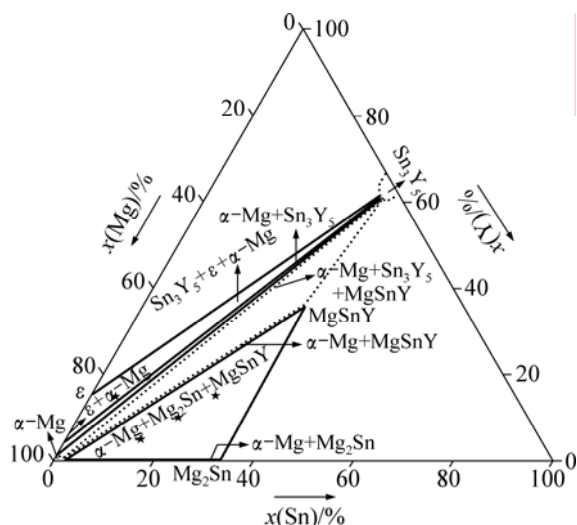


图 7 在 500 °C 下 Mg-Sn-Y 三元系富镁角的等温截面

Fig.7 Isothermal section of Mg-riched corner in Mg-Sn-Y ternary system at 500 °C (Dot lines denote estimated results and stars mean alloys used for equilibrium heat treatment)

固溶度(3.6%)。

基于上述合金在平衡处理后的检测结果,构建 Mg-Sn-Y 三元系 500 °C 下富 Mg 角处的等温截面图,如图 7 所示。由图 7 可以看出,合金中存在三元化合物 MgSnY 与 α-Mg 固溶体相平衡。除了二元化合物 Mg₂Sn 和 Mg_{24+x}Y₅ 与 α-Mg 固溶体相平衡,还存在着 Sn-Y 二元系的化合物 Sn₃Y₅ 与 α-Mg 固溶体相平衡。Mg 元素可以固溶在化合物 Sn₃Y₅ 中,但是 Y 元素不会固溶在 Mg₂Sn 中,Sn 元素也不会固溶于 Mg_{24+x}Y₅ 中。

KANG 等^[15]报道在 Mg-8Sn-3Al-1Si 合金中,基体以及沿晶界处存在着热稳定性高的 Mg₂Sn(770.5 °C) 相,同时含有少量熔点更高的热稳定相 Mg₂Si(1 085 °C),该合金在 150 °C、50 MPa 的环境下其蠕变率仅为相同条件下 AZ91 合金蠕变率的十分之一。LEE 等^[16]研究表明,在 Mg-5Al-2Si 合金中添加适量的 Sn,形成细小的 Mg₂Sn 粒子,可以提高该合金室温和高温(150 °C)下的屈服强度以及抗拉强度,当 Sn 的含量增加至 6%,该合金的蠕变率为 $3.22 \times 10^{-5} \text{ s}^{-1}$,低于 Mg-5Al-2Si 合金的 $8.97 \times 10^{-5} \text{ s}^{-1}$,进一步的研究表明^[17-19],形成的金属间化合物熔点高、热稳定性强,而且具有固溶强化和晶界强化的效果,从而对提高镁合金的抗蠕变性能有良好的作用。LIU 等^[10]研究表明,在 Mg-5% Sn 合金中加入 2% Di,合金中存在热稳定相 Mg₂Sn 的同时,还存在熔点更高、热稳定性更强的羽毛状 Sn-Di(1 600 °C) 相,从而进一步提高了该合金的高温强度和抗蠕变性能。综合以上分析结果可知,提高镁合金耐热性能的主要途径是通过微合金化,一方面在晶界上形成热稳定性高的强化相,钉扎晶界抑制晶界滑移,另一方面在基体上析出弥散强化相,形成固溶强化和析出强化效应,从而改善镁合金的力学性能,所以强化相的热稳定性对耐热镁合金的抗蠕变性能有决定性的影响。对于 Mg-Sn 二元合金,在 α-Mg 基体以及晶界上存在弥散分布的 Mg₂Sn 相,可以明显改善合金的抗蠕变性能和抗拉强度^[20],在此基础上添加 Y 元素,通过对 Mg-Sn-Y 三元系 500 °C 下富 Mg 角处的等温截面图研究可知,该合金中存在的 MgSnY 相与 α-Mg 基体平衡,且其热稳定性比 Mg₂Sn 相的热稳定性高^[11],该相对阻止亚晶界的滑移非常有效,同时该合金体系中还存在与 α-Mg 基体平衡且熔点更高的 Sn₃Y₅(1 940 °C) 相,因而 Mg₂Sn、MgSnY 和 Sn₃Y₅ 相均可做为 Mg-Sn-Y 以及 Mg-Sn-Y 合金体系中重要的强化相。另有研究证实^[12],在 Mg-MM 合金中添加适量的 Sn 形成棒状的 Mg₃RE₁Sn₁ 相,使得 Mg-MM-Sn 合金在具有一定强度的同时,其延展性得到了提高。基于本文作者测定的 Mg-Sn-Y 系相图信息,通过合金设计和制备工艺控制,调整析出相的形态和分布,以期获得具有较高高温强度和延展性、低蠕变速率的 Mg-Sn-Y 系新型耐热镁合金,目前该体系的合金设计以及性能研究工作正在进行中。

3 结论

1) 由合金法建立了 Mg-Sn-Y 三元系 500 °C 下富

Mg 角处等温截面相图。实验证实了在该三元合金体系中存在 3 个三相区(α -Mg+Mg₂Sn+MgSnY, α -Mg+Sn₃Y₅+MgSnY 和 α -Mg+Sn₃Y₅+ α -Mg_{24+x}Y₅)和 4 个两相区 (α -Mg+Sn₃Y₅, α -Mg+Mg₂Sn, α -Mg+MgSnY 和 α -Mg+ α -Mg_{24+x}Y₅)。

2) 实验证实了在该等温截面存在一个三元化合物 MgSnY(摩尔比为 1:1:1)。

3) 在 500℃时 Sn 在 α -Mg 中的固溶度为 2.5%~3.9%, Y 在 α -Mg 中的固溶度为 1.1%; Sn 和 Y 不能同时固溶于 α -Mg 中, 在 Sn₃Y₅相中大约可以固溶 3.6%~4.1% 的金属 Mg。

REFERENCES

- [1] KIM N J. Design of high performance structural alloys using second phases[J]. Mater Sci Eng A, 2007, 449/451: 51~56.
- [2] MORDIKE B L. Development of highly creep resistant magnesium alloys[J]. Journal of Materials Processing Technology, 2001, 117(3): 391~394.
- [3] MORDIKE B L, EBERT T. Magnesium properties-applications-potential[J]. Mater Sci Eng A, 2001, 302(1): 37~45.
- [4] 张剑平, 艾云龙, 陈乐平. AZ91 镁合金的抗高温蠕变性能和腐蚀性能的研究近况[J]. 铸造, 2007, 56(8): 779~783.
ZHANG Jian-ping, AI Yun-long, CHEN Le-ping. The recent research on properties of high temperature creep and corrosion of AZ91 magnesium alloy[J]. Foundry, 2007, 56(8): 779~783.
- [5] LIU H M, CHEN Y G, TANG Y B, WEI S H, NIU G. The microstructure, tensile properties, and creep behaviour of as-cast Mg-(1~10)% Sn alloys[J]. Journal of Alloys and Compounds, 2007, 440(1/2): 122~126.
- [6] BAMBERGER M, DEHM G. Trends in the development of new Mg alloys[J]. Annual Reviews Materials Research, 2008, 38: 505~533.
- [7] KANG D H, PARK S S, OH Y S, KIM N J. Effect of nano-particles on the creep resistance of Mg-Sn based alloys[J]. Mater Sci Eng A, 2007, 449/451: 318~321.
- [8] 孙扬善, 翁坤忠, 袁广银. Sn 对镁合金显微组织和力学性能的影响[J]. 中国有色金属学报, 1999, 9(1): 55~60.
SUN Yang-shan, WENG Kun-zhong, YUAN Guang-yin. Effect of Sn on the microstructure and mechanical properties of Mg alloys[J]. The Chinese Journal of Nonferrous Metals, 1999, 9(1): 55~60.
- [9] LIU H M, CHEN Y G, TANG Y B, HUANG D M, NIU G. The microstructure and mechanical properties of permanent-mould cast Mg-5wt% Sn-(0.2~2.6)wt% Di alloys[J]. Mater Sci Eng A, 2006, 437(2): 348~355.
- [10] LIU H M, CHEN Y G, TANG Y B, WEI S H, NIU G. Tensile and indentation creep behavior of Mg-5Sn and Mg-5wt% Sn-2Di alloys[J]. Mater Sci Eng A, 2007, 464(1/2): 124~128.
- [11] GORNY A, BAMBERGER M, KATSMAN A. High temperature phase stabilized microstructure in Mg-Zn-Sn alloys with Y and Sb additions[J]. Journal of Materials Science, 2007, 42: 10014~10022.
- [12] LIM H K, SOHN S W, KIM D H, LEE J Y, KIM W T, KIM D H. Effect of addition of Sn on the microstructure and mechanical properties of Mg-MM(misch-metal) alloys[J]. Journal of Alloys and Compounds, 2008, 454(1/2): 515~522.
- [13] LIM H K, SOHN S W, KIM D H, LEE J Y, KIM W T, KIM D H. Effects of alloying elements on microstructures and mechanical properties of wrought Mg-MM-Sn alloy[J]. Journal of Alloys and Compounds, 2009, 468(1/2): 308~314.
- [14] RASHKOVA B, KECKES D J, LEVI G, GORNY A, BAMBERGER M. Microstructural evolution and phase formation in novel Mg-Zn based alloys[C]//KAINER K U. Proceedings of the 7th International Conference on Magnesium Alloys and Their Applications, Wiley-VCH, 2007: 486~491.
- [15] KANG D H, PARK S S, KIM N J. Development of creep resistant die cast Mg-Sn-Al-Si alloy[J]. Mater Sci Eng A, 2005, 413/414: 555~560.
- [16] LEE S W, PARK B Y, PARK Y H, PARK I M. Effect of Sn on the microstructure and mechanical properties of Mg-5Al-2Si alloys[J]. Journal of Materials Science and Technology, 2008, 24(3): 296~298.
- [17] KOZLOV A, OHNO M, ARROYAVE R, LIU Z K, SCHMID-FETZER R. Phase equilibria, thermodynamics and solidification microstructures of Mg-Sn-Ca alloys, Part 1: Experimental investigation and thermodynamic modeling of the ternary Mg-Sn-Ca system[J]. Intermetallics, 2008, 16(2): 299~315.
- [18] HUANG Y D, HORT N, LEIL T A, KAINER K U, LIU Y L. Effect of microstructural inhomogeneity on creep response of Mg-Sn alloys[J]. Key Engineering Materials, 2007, 345/346: 561~564.
- [19] PEKGULERYUZ M O, KAYA A A. Creep resistant magnesium alloys for power train applications[J]. Advanced Engineering Materials, 2003, 5(12): 866~878.
- [20] 魏尚海, 陈云贵, 刘红梅, 唐永伯, 肖素芬, 牛高, 章晓萍. Mg-5wt%Sn 合金铸态和时效态的高温蠕变性能[J]. 材料热处理学报, 2008, 29(3): 104~107.
WEI Shang-hai, CHEN Yun-gui, LIU Hong-mei, TANG Yong-bo, XIAO Su-fen, NIU Gao, ZHANG Xiao-ping. Compressive creep behavior of as-cast and aging-treated Mg-5wt% Sn alloy[J]. Transactions of Materials and Heat Treatment, 2008, 29(3): 104~107.

(编辑 龙怀中)